レジンシートによるオーバーレイに 関する研究 (第5報)

原紙の厚さを異にする石炭酸樹脂レジンシート オーバーレイ合板の製造とその耐候性試験

松本庸块印

I 緒 言

合板に高度の耐水性、耐候性を付与する手段としてのレジンシートオーバーレイについて一連の試験を行ない、さきには比較的薄い2種の原紙(厚さ 0.05 および 0.12mm)を用いた自己接着性のレジンシートをオーバーレイした合板についての耐候性試験結果を報告した 10。しかし、その結果では1~2年の屋外ばくろによつて表面割れを生じはじめ、以後はかなり急速に割れが進行し、十分な木材質の保護効果、耐候性は得られなかつた。これはレジンシートの強度が台板合板の吸脱湿による膨張、収縮に耐えられなかつたものと考察した。そこで、本報では前報より厚く、強度の大きい4種の原紙を用い、含脂率ほぼ50%のレジンシートを製造し、それらをオーバーレイした合板について行なつた耐候性試験結果について報告する。なお、本研究のために製造したレジンシートオーバーレイ合板は多雪寒冷地帯での耐候性を検討するため、当場北海道支場(札幌市)庁舎の羽目板として実用試験中であることを付記する。

本研究を行なうにあたり、終始ご指導いただいた堀岡邦典前材質改良科長、研究遂行上種々ご協力くださつた大黒昭夫技官、田中辰五郎技官、ご便宜を与えられた小倉武夫木材部長、強度試験についてご指導いただいた強度研究室の方々に、深く感謝する。

Ⅱ レジンシートオーバーレイ合板の製造

1. レジンシートの製造とその性質

供試レジンシートは前報10と同じ装置20を用いて製造した。以下これについて述べる。

- i) 樹脂 前報 1 と同じく、当場で製造した中性 (pH 1 7.0 1 7.0 1 7.3)、水溶性の 石炭酸樹脂 で、樹脂率 (Solid content、以後 S. C. と略記する) 1 46.5%、粘度は約 1 ポイズ (1 20 $^{\circ}$ C) である。これを必要に 応じて (後述の予備試験の結果によつて) 1 50% 1 メタノールで希釈して用いた。
- ii) 原紙 Table 1 に示したごとく、未さらしクラフトパルプ製、または再生綿製の厚さ $0.12\sim0.38$ mmのもの 4 種、すなわち符号 A、 B、 F、 J の 4 種を使用した。このうち A は前報 D の B・ P A と同一のもので、比較のために用いた。
- iii) 予備試験 使用した 4 種の原紙について、それぞれ含脂率(Resin content、以後 R.C. と略記する)約50%のレジンシートをうるため、樹脂液濃度(樹脂率)と含脂率の関係をレジンシート製造装置と条件をほぼ等しくした簡単な装置による予備試験によつて求めた。その方法は幅 22cm,長さ約 45cmの

⁽¹⁾ 木材部材質改良科材質改良研究室員

原 紙 Symbol of	記 号 base paper	A	В	F	J
パルプ Kind of		KP	KP	КP	再生綿 (Ragged cotton)
厚 Thick	さ(mm) rness	0.12	. 0.20	0.22	0.38
坪 Basis	量 (g/m²) weight	62.5	110	141	226
密 Bulk de	度 ensity	0.52	0. 55	0.64	0.59
吸水度(Water abso	cm/10 min) rption degree	9. 5	7.5	7.1	
引張り強さ	縦 方 向 Machine direction	5.8	12.5	12.1	6.8
Tensile strength (kg/15mm)	横 方 向 Cross direction	1.7	4.9	5. 7	5, 4

Table 1. レジンシート用原紙の性質 Properties of base paper for resin sheet.

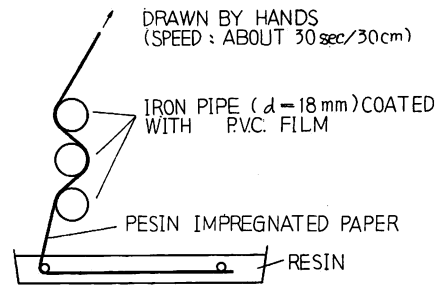


Fig. 1 予備試験における含浸法の模式図 Schematic diagram of impregnation test in laboratory.

なお, 含脂率は次式により算出した。

原紙を用い, Fig. 1 の方法で樹脂を含浸せしめたのち, 80~90°C の通風乾燥器中で10~15分間乾燥して揮発分 (130~140°Cで10分間乾燥した時の減量)約8%とし、 得られたレジンシートのほぼ中央部から 20×20cm の試 料をとつて秤量し、含脂率を求めた、樹脂液のS.C.を 変えて試験したところ, Fig. 2 の結果を得た。これより R.C. 50%のレジンシートをうるためには樹脂液のS. C. を A原紙: 40%, B原紙: 45%, Fおよび J原 紙:50%(外挿法により推定)とすればよいことがわ かつた。

含脂率 $(R.C.) = \frac{(\nu \vec{y} y \hat{y} - \mathbf{h} \circ \mathbf{p} \mathbf{k}) - (\mathbf{p} \mathbf{k} \circ \mathbf{p} \mathbf{k})}{(\nu \vec{y} y \hat{y} - \mathbf{h} \circ \mathbf{p} \mathbf{k})} \times 100$ (%)

Table 2. フェノールレジンシートの製造条件と性質 Manufacturing conditions and properties of phenolic resin sheets.

原紙	樹脂	Resins	乾燥 Temp dryer	室 温 erature		乾燥時間		ジンシー rties of		ieet	レジンシ ートの記 号
Base paper	樹脂率 Solid content		ance		Exit	Drying time		揮発分 Volatile content	resin	Thic- kness	Symbol of resin
	(%)	(Poise)	(°C)	(°C)	(°C)	(min)	(%)	(%)	(g/m^2)	(mm)	sheet
Α	40	0.7	82	80	59	5.3	53	8	72	0.19	A- 53
В	45	0.8	76	80	53	6.1	52	8	120	0. 29	B-52
\mathbf{F}	46.5	0.8	· 81	80	58	6.3	50	8	141	0.33	F-50
J	46.5	0.8	85	88	62	6.3	50	8	226	0.54	J -50

iv) レジンシートの製造条件 この試験に用いたレジンシートの製造条件は Table 2 に示した(製造したレジンシートは原紙記号とR. C. を組み合わせて A-53, B-52, F-50, J-50 と略記することにする)。F, J原紙の場合にはS. C. 50%の樹脂は得られなかつたので樹脂原液(S. C. 46.5%)を用い、ちようどR. C. 50%のレジンシートをうることができた。一般的にいつて、この製造装置では予備試験結果より 2~3%高いR. C. のレジンシートをうることが判明した(Table 3)。この点を考慮し、使用する樹脂液のS. C. を予備試験結果より 2~3%低くすることによつて、他のR. C. 域でも所望のR. C. にほぼ等しいレジンシートをうることができる 3 。

なお、含浸、乾燥過程でのシートの寸法変化(幅方向)は Table 4 に示したごとく約 1%あり、原紙のプレヒート後、樹脂液含浸の過程では2%近くの伸びがみられ、A原紙の場合にはほぼ中央部にシワを生ずる傾向があつたが、弓型バーの使用および原紙の緊張度を調節することによつて取除くことができた。厚い他の原紙の場合には原紙の緊張度の調節によりシワを取除くことができた。縦方向(原紙の抄紙方向)の乾燥後の寸法変化はA原紙の場合約 0.6%の伸びを示した。

以後の試験には上記で得た 4 種のレジンシートのほかに、記号 L-45, R-65の 2 種の市販レジンシートを 比較のために使用 した。 L-45 は厚さ 0.25mmの原紙に水溶性石炭酸樹脂を含浸させたものであり、オーバーレイの際には別に接着紙(原紙の厚さ 0.075 mm, R.C. 約65%)を併用 する。R-65 は厚さ 0.125 mm の原紙にアルコール 溶性の石炭酸

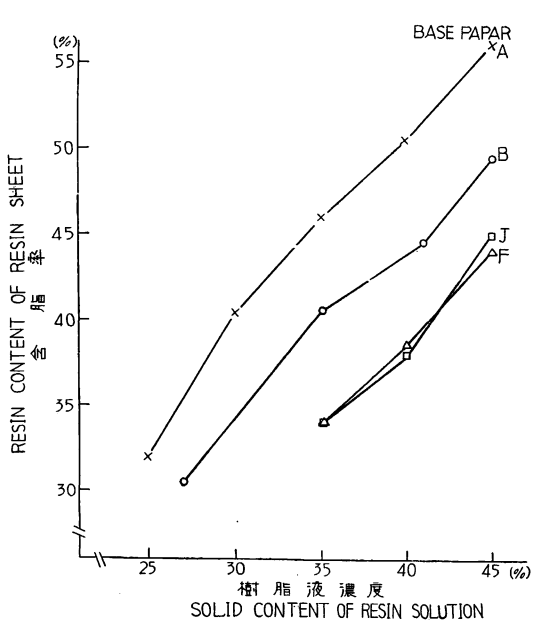


Fig. 2 予備試験における樹脂液濃度とレジンシートの含脂率の関係

Relations between solid content of resin solution and resin content of resin sheet in laboratory tests.

樹脂を含浸させたもので、自己接着によるオーバーレイが可能なものである。

v) レジンシートの接着力 レジンシートの自己接着性の可否を検討するため、これらを接着紙としてカパまたはラワンの 1.2~mm, 3~プライ合板を試作し、その常態、煮沸、乾湿 くりかえし試験(JASに準じて)を行なつた。その結果は Table 5~ のごとくであつて(Bタイプ試験片で 0.9を乗じた値、切込は順逆同数)、良好な接着性を示した。したがつて、自己接着によるオーバーレイ(L-45以外)が可能である。

vi) レジンシートを加熱硬化せしめたものの性質 レジンシートをステンレス板にはさみ、熱板間で接触圧程度で加熱硬化せしめたものの引張り強さを Table 6 に示した。R. C. 50%以上では湿潤強度は常態のそれと大差なく、破断時の伸張度は湿潤時の方が大であつた。また吸湿、吸水時の寸法変化を Table 12、Fig. 6 に示した。

2. オーバーレイ処理

Table 3. 樹脂液濃度と含脂率の関係における予備試験と現場(応用研究室)との差 Relations between solid content of resin solution and resin content of resin sheet in laboratory and pilot plant.

原 紙	予 備 Labor	試 験 atory	応 用 研 究 室 Pilot plant		
Base	樹脂率 Solid content of resin solution (%)	含脂率 Resin content of resin sheet (%)	樹脂率 Solid content of resin solution (%)	含脂率 Resin content of resin sheet (%)	
A	40	50	40	53	
В	45	50	45	52	
F	50	50	46.5	50	
J	50	50	46. 5	50	

Table 4. 樹脂含浸, 乾燥時のシートの幅方向における寸法変化 Dimensional changes of sheets (cross direction) at impregnation and drying.

Base paper Part of machine	A	В	F	J
Rolled paper	100	100	100	100
Preheater	99. 4			
After impregnation	101.4			
After drying	101.2	101.1	100.8	100.8

レジンシートは前述のごとく良好な接着性を示すので、オーバーレイ処理は熱圧のみによつて行なうことができる。

i) 台板合板 ラワン 3 プライの 3.4~3.5mm合板 (使用単板は 0.9-2.0-0.9mm) で含水率は約12%,接着剤は前報と同じ石炭酸樹脂で,配合,圧締条件は次のとおりである。両面を 180番サンドペーパーでサンディング仕上げした。

接着剤の配合: 石炭酸樹脂 (S.C.46.5%) 100部, 大豆粉 5部, 水10部

塗付量: 30~35g/(30cm)²

熱圧: 10kg/cm2, 130°C, 10分

冷圧 : 10kg/cm², 約 2 時間

ii) オーバーレイ処理条件 オーバーレイ処理は Fig. 3 の構成で合板の両面に同種のレジンシートを 熱圧加工した(合板表板の繊維方向とレジンシート 原紙の抄紙方向を 一致させる)。 クッション紙は前回 と同じもの(厚さ0.2mm,アスベスト25%を含有)を両面に 5 枚ずつ使用した。 熱圧条件はレジンシート の硬化速度,クッション紙の枚数を考慮して(第3報参照)125~130°C,15分間(ただし購入したL-45,R-65の場合には20分間),圧力は $12kg/cm^2$ とした。 離型剤としてはポリエチレンエマルジョンを使用した。

なお、以後の記述を簡単にするため、オーバーレイ合板には、使用したレジンシートの種類によって次のごとく記号をつけてそれぞれの合板を示すことにする (Table 8)。無処理の台板合板を N、オーバーレイ合板についてはレジンシート記号のR. C. 値を除いたものとした(すなわちA、B、F、Jでは原紙記号と同一になる)。

Table 5.	. レジンシー	-トを接着終	氏として月	目いたか	合板の排	妾着力
Adhesion	strength of	plywood	bonded	with	resin	sheet.

	Species Kind of		Birch		Lauan		
Adhesion Resin strensheet		Normal test	Boiling test	Cycle wet and dry test	Normal test	Boiling test	Cycle wet and dry test
A—53	Min. Max. Mean	18.5(0) 25.5(0) 22.2(0)		26.1(40)	15.7(90) 19.7(100) 17.7(97)		18.7(100)
B—52	Min. Max. Mean	16.5(0) 24.5(0) 20.8(0)	30.4(0)	29.4(40)	11.5(100) 18.4(100) 16.6(100)	17.6(100)	
F—50	Min. Max. Mean	13.4(0) 24.0(0) 18.9(0)	23.8(0)	26 . 2(0)	19.5(100)	14.4(100)	
J —50	Min. Max. Mean	17.3(0) 24.2(60) 20.2(12)	28. 2(20)			14.4(100) 16.3(100) 15.0(100)	
Film glue for resin sheet L-45	Min. Max. Mean	24.3(0) 30.2(60) 27.0(37)	31.2(0)	21.8(20)		·	
R65	Min. Max. Mean	19.0(0) 25.9(35) 23.0(5)	26.6(0)	22.4(0))		

* Wood failure (%)

Veneer: 1.2mm 3 ply, u=11~12%; Press condition: 12kg/cm², 130°C, 10min. Number of specimen: 10 pieces.

Table 6. 加熱硬化せしめたレジンシートの引張り強さ*1,2,3

Resin	Thickness of cured	抄紙方向 Mad	chine direction	幅方向C	ross direction	
sheet sheet (mm)		Dry(20°C R. H. 65%)	Wet (Water)	Dry(20° C R. H. 65%)	Wet (25° C) Water 24hrs	
A —53	0.15	18.8 (2.4)*4	16.5 (3.8)	7.2 (2.0)	6.0 (3.5)	
B—52	0.25	27.4*5(2.7)	28.5 (3.4)	16.4 (2.1)	13.8 (3.3)	
F 50	0.29	33.3*5(2.3)	28.8 (3.4)	18.8 (1.9)	17.3 (3.5)	
J —50		36		32		
L-45		28.9 (2.7)		18.7 (2.2)	<u> </u>	
R—65	_	11.1 (2.0)		7.0 (—)	; — ,	

Tensile strength of cured resin sheets. *1, 2, 3

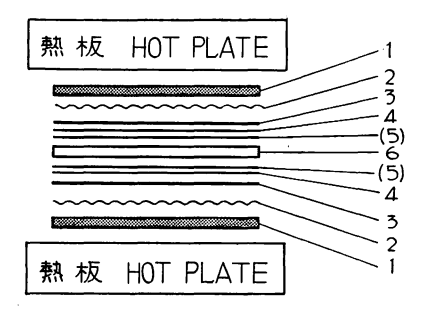
- * 1. ショッパー抗張力試験機 Schopper tensile machine.
- * 2. Unit: kg/15mm
- * 3. 試験片は,接触圧程度で熱板にはさんで硬化せしめた。 Resin sheets for test were cured between hot plates without pressure.
- * 4. 破断時の伸張度 Elongation at rupture. (%)
- * 5. 10mm 幅の試験片を用い、試験値を kg/15mm に換算した。 Width of test pieces: 10mm; strength: converted into the unit of kg/15mm

3. オーバーレイ合板の性質

i) 外観 原紙が比較的薄く、R. C. のいくぶん大きい A, B, R合板の場合にはレジンシート層は透明で木目を透視できるが、F, J, L合板の場合は不透明であつた。後者 のように原紙が厚く、R. C. $40\sim50\%$ の場合にはわずかの 樹脂含浸ムラやオーバーレイ処理時の圧力ムラによつてオーバーレイ面に斑点状のムラが目だちやすい。市販のレジンシートである L-45 の場合のように原紙に無機顔料(この場合 ベンガラ)を抄き込むことは、これらの斑点を目立たなくする効果があるとともに、材の欠点を遮蔽する効果もある。

導管に起因する凹凸はA, B, R合板にはわずか認められたが,厚さ 0.22mm で比較的密度の高い F 原紙,さらに厚い J 原紙を用いた場合および L-45 の場合にはほとんど認められなかつた。

ii) 耐薬品性 オーバーレイ面について,特殊合板のJASに準じて耐酸(5%酢酸),耐アルカリ(1%炭酸ナトリウム),耐アルコール,耐石油ベンゼン,さらに耐アセトンの各試験を行なつたところ,いずれの合板も耐アルカリ試験に。



- 1. 当板 Caul plate
- 2. クッション紙(5枚) Cushion paper (5sheets).
- 3. 鏡面みがきステンレス板 Single surface caul plate.
- 4. レジンシート Resin sheet
- 5. 接着紙(L-45 の場合のみ使用) Film glue (used only with L-45)
- 6. 台板合板 Plywood

Fig. 3 レジンシートオーバーレイ処 理時の組合せ

Way of assembly at overlaying.

各試験を行なつたところ、いずれの合板も耐アルカリ試験によつてわずかに変色したが、他には変化はみられなかつた。

iii) 吸水試験 オーバーレイ処理によつて合板表面からの吸水度は著しく減少する。これを次の方法で測定した。試料から $5\times5cm$ の試験片 3 個をとり, 20° C,関係湿度(R.H.)65% において調湿後,エッジをパラフィン・ワセリン(1:1)混合物で封じ, $25\sim26^{\circ}$ C の水中に浸漬(水深 $5\sim10cm$)し, $1\sim7$ 日後に秤量して $5\times5cm\times2$ 面(両面)からの吸水量を求め,3 試験片の平均値を Fig. 7 に示した。この場合(台板合板の厚さ約 3.5mm の場合)の結果によると,たとえば48時間水浸漬後の吸水量は無処理合板(N)の場合 2.2g(平均含水率増加は約 40%)であるが,レジンシートオーバーレイによつて $0.03\sim0.23g$ (平均含水率増加は $0.5\sim4\%$)に減少する。

オーバーレイしたレジンシートが合板を被覆する効果を簡単に表現するため、前報 10 と同様にこの吸水量から"被覆能"として次式を定義して計算し、48時間後の吸水量と併せて Table 9、10に示した。

被覆能 (Covering efficiency) =
$$\left[1 - \left(\frac{W_{ov}}{W_{NON}}\right)_{mean}\right] \times 100$$

ただし、Wov: オーバーレイ合板の水浸漬 24,48あるいは72時間後の吸水量

Wnon: 無処理合板の水浸漬 24,48あるいは72時間後の吸水量

$$\left(rac{W_{
m ov}}{W_{
m NON}}
ight)_{
m mean}$$
: 水浸漬各 24, 48, 72 時間の時点における $\left(rac{W_{
m ov}}{W_{
m NON}}
ight)$ の平均値

iv) 機械的性質 レジンシートオーバーレイにより合板の機械的性質が改善されることは第1報 $^{\circ}$ 等でも報告されている。本実験では縦 (0°) ,横 (90°) ,斜 (45°) の3方向について次節に記述する方法によって曲げヤング係数 (E_B) (中央集中荷重法により測定)と引張り強さ (σ_T) を測定した。 それらの結果を Table 15, 16 (ばくろ時間0年の場合)に,また台板合板を 1.0とした場合のオーバーレイ合板の比

較値を Table 7 に示した。これで明らかなように、 45° 方向の E_B 、 σr と、 90° 方向の E_B は著しく大きくなる。一般に合板の 45° 方向の σr は 0° または 90° 方向のそれに比して小であり、 $[\sigma r (45^\circ)/\sigma r (0^\circ) \sigma r (0^\circ)]$ (分母は $\sigma r (0^\circ)$)、または $\sigma r (90^\circ)$ のうち、大きい方の値)で合板の異方性を比較することができる(この値が 1 に近いほど異方性は少ない)。この試験の場合、その値は Table 7 の最右欄に記したごとく、無処理合板の 0.20 に対してオーバーレイ合板は $0.23\sim0.43$ であつて、異方性が著しく少なくなつている。この中でもレジンシートが厚く、強度が大きいほど異方性も少なくなつた。

以上のようにレジンシートオーバーレイは合板の機械的強度を増し、特に異方性を少なくする効果が著 しい。

Ⅲ レジンシートオーバーレイ合板の耐候性試験

試作したオーバーレイ合板の耐候性を試験するため、促進試験法としてウェザーメーター試験と煮沸一乾燥くりかえし試験、天然ばくろ試験として前報¹⁾の屋外ばくろ試験(I)と同じ条件の試験を行なつた。屋外ばくろ試験はなお続行中であり、そのほかに前述のごとく北海道支場において羽目板として実用試験中であるので、それらの結果は後日発表の予定である。

1. 試料

供試合板は Π によつて製造したもので、一括して Table 8 に示した。記号については、 Π -2-ii)に述べたところである。

2. 試験方法

i) ウェザーメーターによる試験 前報1⁾ 同様の条件(乾球: 40~42°C, スプレイ: 120分ごとに

Table 7. 合板の曲げヤング係数および引張り強さにおよぼすレジンシートオーバーレイの効果 Effect of resin sheet overlay in bending Young's modulus and tensile strength (Values show ratio between overlaid and non-overlaid plywood).

par	S Dire ase cti- per nm)		Ratio of mechan Ratio of bending Young's modulus (EB(overlaid) EB(non-overlaid)			Ratio of tensile strength [\sigma \tau(\text{overlaid}) \\ \sigma \tau(\text{non-overlaid}) \]			Ratio of tensile strength of 45° direction and 0° or 90° direction
Non		0°	45°	90°	0°	45°	90°	στ (0° or 90°)	
overlaid	N*2	_	1.00	1.00	1.00	1.00	1.00	1.00	0.20
Overlaid	A	0.12	1.26	2.30	2.61	1.08	1.62	1.16	0.23
	В	0.20	1.07	2.63	2.91	1.05	1.94	1.08	0.28
	F	0.22	1.02	3.14	3.39	0.84	1.58	0.84	0.29
	J	0.38	0.94	3.11	3.45	0.96	2.86	1.23	0.43
	L	0.25+ 0.075	0.86	2.48	2.66	0.92	2,02	0.95	0.34
	R	0.125	0.99	2.12	2.41	0, 90	1.45	0.93	0, 23

^{* 1.} この値が大なるほど、合板の異方性は少ない。 The more value shows the less anisotropy. $\sigma_T(0^\circ \text{ or } 90^\circ)$: $\sigma_T(0^\circ)$ または $\sigma_T(90^\circ)$ のうち、大なる値をとる。 Larger σ_T either $\sigma_T(0^\circ)$ or $\sigma_T(90^\circ)$.

* 2. Table 8 参照。cf. Table 8.

3分間,水量: 毎分 580ml) で 216 時間を 1 単位として (216×1)~(216×5) 時間試験した。試験片の大きさは14×7cm (表板の繊維方向 14cm) で、エッジを常温硬化性石炭酸系樹脂で封じた。 各試験ごとにおのおの 2 枚の試験片をとつた。

- ii)屋外ばくろ試験 林産新館屋上に南面 45°傾斜に設置した。試験片の大きさは 30.5×30.5cmで, i)同様エッジを封じ、1960年4月に設置した。1年ごとにおのおの1枚の試験片をとりはずし、後述の 諸試験に供した。
- iii) 煮沸一乾燥くりかえし試験 $15 \times 15 cm$ の試験片おのおの 2 枚ずつを、 4 時間煮沸し、 63° C で 20 時間乾燥するくりかえしを 3 または 5 回行ない、各段階で表面割れ発生の有無などを観察するとともに、試験終了後の乾燥試験片から接着力試験片を採取した。

3 測定事項および測定法

ばくろ試験または促進試験を行なつた試料(ばくろ試験しないものを含む)について次の測定を行ない、耐候性を比較した。

- i) 光沢と色 ウェザーメーター試験片およびばくろ試験片について、表面に付着した異物を湿つた布でできるだけぬぐいとつたのち観察記録し、さらに色を三刺激値直読型測色計(東洋工業K.K.製、TK-SP型、照明・受光の幾何学的条件は 0-d)を用いて測定した。 三刺戟値より明度と色度を求め、色度はさらに色度図によつてC光源に対する主波長、刺戟純度に読みかえて表示した。
- ii) 表面割れ ウェザーメーター試験片については 216時間ごとに 8 倍のルーペで観察し、表面割れの本数と合計長を記録した。屋外ばくろ試験片については試験片の中央に木目に直角方向に一線を引き、その線が横切る割れの数をルーペで観察した。煮沸一乾燥くりかえし試験片については各段階で表面割れの有無を観察した。
- iii) 吸水量 ウェザーメーター試験片, またはばくろ試験片から $5 \times 5cm$ の試験片各 2 枚をとり, II-3 -iii) で述べた方法で測定し、図示または48時間後の吸水量と前述した"被覆能"で表示した。
 - iv) 接着力 Bタイプの試験片(切込みは順逆同数にとる)で測定し,係数 0.9および構成単板の厚 Table 8. 耐 候 試 験 試 料 一 覧 表 List of plywoods for weathering tests.

試料合板の記号 Symbol of plywood	処理の有無 Overlaid	レジン 原紙の厚さ Thickness of base paper (<i>mm</i>)	シート Resin 含 脂 率 Resin content (%)	sheet Table 2 中の 記号 Symbol in Table 2	試料合板の 厚 さ Thickness of plywood (<i>mm</i>)	備 考 Note
N	Non-overlaid (base plywood)	_			3.4~3.5	
A	Both side overlaid	0.12	53	A-53	3.6~3.7	
В	As above	0,20	52	B-52	3.7~3.8	
F	As above	0.22	50	F-50	3.8~3.9	
J	As above	0.38	50	J -50	4.0~4.1	
L	As above with film glue	0.25 and 0.075	About 45 and About 65	(L-45)	3.9~4.0	市販のレジン シートを使用 Resin sheet on the market
R	Both side overlaid	0.125	About 65	(R-65)	3.6~3.7	同上 As above

さ比の係数として一律に 1.2を乗じた値を表示した(レジンシートの厚さにより三層の構成比は変化するが、ここでは便宜的に同じ係数を乗じた)。試験片の数は Table 14 に付記した。

v) 曲げ剛性試験 屋外ばくろ試験片 $(30.5 \times 30.5 cm)$ から Fig. 4 にしたがい,縦 (0°) ,横 (90°) ,斜 (45°) の 3 方向から $2 \times 20 cm$ の試験片 3 枚ずつを採取し, 20° C, R. H. 65%で調湿後試験に供した。曲げ試験はスパン長さ 15 cm の中央集中荷重法により行なつた。すなわち中央に荷重用分銅受とダイアルゲージを設置し,試料の強度に応じて $10 \sim 500 g$ の分銅を逐次加え,荷重と撓みの関係を10点読み取り,それから曲げヤング係数 (E_B) を計算した(ばくろ試験の際の上面を曲げ 試験に際しても上面とした)。この曲げ試験では曲げヤング係数だけを求め,その試験片から次の引張り試験片を作製した。

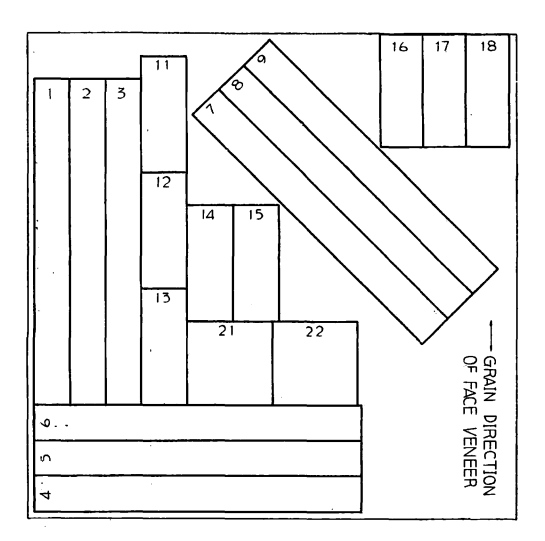
vi)引張り試験 曲げヤング係数を求めた試験片から Fig. 5 の引張り試験片を作製し、つかみの部分には補強材を接着し、オルゼン型試験機(能力1トン)によつて引張り強さ(σ r)を求めた。

vii) 台板目やせ 屋外ばくろ試験片、 煮沸一乾燥くりかえし試験片について、台板目やせの有無を観察した。

4. 試験結果および考察

ウェザーメーター試験,屋外ばくろ試験,煮沸一乾燥くりかえし試験の観察結果その他を Table 9~ 11 に,接着力試験,曲げ,引張試験結果を Table 14~16 に,吸水試験結果を Fig. 7 にそれぞれ示した。

i) 色 ウェザーメーター試験,屋外ばくろ試験によつて徐々に変色する(Table 9, 10) が,その傾向は両試験法によつて若干の差がある。これはウェザーメーターの場合にはスプレイ用水道水中の無機物の



 $1\sim 9$: Bending and tensile strength test pieces $(2\times 20\ cm)$.

11~18: Adhesion strength test pieces $(2.5 \times 7 \text{ cm})$.

21~22: Water absorption test pieces (5×5) cm.

Fig. 4 屋外ばくろ試験合板から各試験片のとり方 Cutting diagram of test pieces from the outdoor weathered plywood.

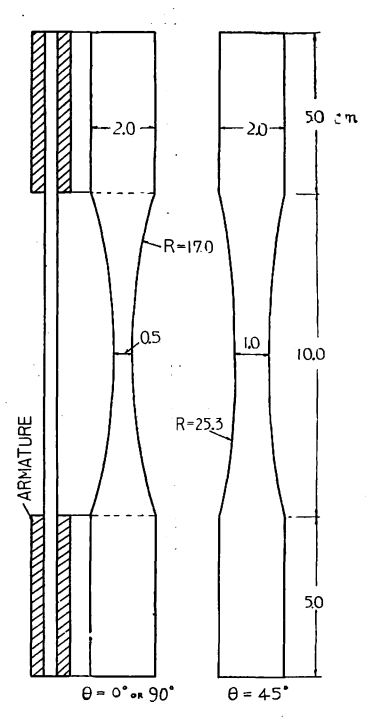


Fig. 5 引張り試験片の形状 Tensile strength test pieces

影響,屋外ばくろの場合には煤煙等の影響(ぬぐいとれない汚れが認められる)と思われる。しかし一般的には主波長は最初長波長側に、その後わずかながら短波長側に変化する傾向がみられた。ただ,レジンシート原紙にベンガラを抄きこんでいるL合板の場合には主波長の変化が大であり,アルコール溶性の石炭酸樹脂を用いたR合板の場合には一般に知られているごとく,ばくろ前には他に比し明るくうすい赤黄色であるが,ウェザーメーター試験またはばくろ試験によつて急速に赤味を増した。

純度、明度はいずれの試料も低下する傾向にあり、だんだん濁つた、暗い色になつてゆくことが数値上からもうかがわれる。

石炭酸樹脂は元来、褐色に着色しており、ここで観察された変色は実用的には支障ないものと考えられ

Table 9. ウェザーメーターによる耐候性試験結果 Results of weather meter test.

合板類 Kind of ply- wood	ウェザー メーター 試験時間 Exposing time to weather meter (hr)	明 度 Light- ness (%)	色 Color 主波長 Domi- nant wave length (mµ)	刺戟純度 Excita- tion purity (%)	Surfac Total (mm) : numbe crack	length and r of on the men of	吸水量 Amount of absorbed water by 5×5 cm specimen for 48 hours (g)	被覆能 Covering efficiency
Α	216×1 ×2 ×3.5 ×5	18.5 16.0 15.4 14.0 13.4	587.5 589.7 589.5 591.0 591.4	51.5 57 45 41 40.5	0 0 5.5(1) 20(1) 60.7(11)	0 0 11(1) 74(9)	0.20	89.5 — 89.8 91.5 89.2
В	0 216×1 ×2 ×3.5 ×5	16. 1 14. 0 14. 8 13. 3 13. 3	588.8 589 588 594.5 591	45. 5 46 44 38 36	0 0 0 0	0 0 0 0	0.08 	96. 5 95. 3 96. 2 95. 2
F	0 216×1 ×2 ×3.5 ×5	13. 4 13. 8 14. 3 12. 9 12. 8	588.7 588.4 591 588.6 590	39.5 45.5 36 36 31.5	0 0 0 0	0 0 0 0 2(1)	0.07 — 0.12 0.07	96.8
J	0 216×1 ×2 ×3, 5 ×5	12.5 12.1 12.7 12.7 13.8	586.8 587.8 593.6 581.5 567.6	37 40.5 28.5 33 53	0 0 140(1) 0 130(1)	0 0 0 0	0. 14 0. 15 0. 12 0. 15	93.6 93.7 95.8 93.7
L	0 216×1 ×2 ×3,5 ×5	11.3 10.5 13.5 13.2 13.8	600 598.5 591.0 592 591.5	37.5 37.5 36 26 25.5	0 0 0 0	0 0 0 0	0. 18 0. 16 0. 19 0. 17	92.3 93.1 91.9 92.8
R	0 216×1 ×2 ×3.5 ×5	24.5 13.7 13.7 12.5 11.7	588. 5 593. 5 593. 5 593. 5 596	62 52 47 37 37	0 0 8(3) 2.5(1) 19(7)	0 0 9.5(2) 13(4) 66(12)	0.03 	98.6 96.5 96.4 96.4

Size of specimen: $7 \times 14cm$ (grain direction of the fase veneer: 14cm). Surface cracks were observed with a magnifying glass.

Table 10. 屋外ばくろ試験によるレジンシートオーバーレイ合板の外観的変化 Results of outdoor weathering test of resin sheet overlaid plywoods.

屋外ばく 時	観察・測 ろ 定項目 間 Items	光沢		色 Color	to the second	表面割れ	台板目やせ	吸 水 量	————————————————————————————————————
Outdo weath ing 合板 time の種類 (Yes Kind of	or of observation and	Gloss	明 度 Lightness (%)	主. 波 長 Dominant wave length (mu)	刺 戟 純 度 Excitation purity (%)	Surface crack (Number of cracks crossed with center line	Raised grain of base plywood	Amount of absorbed water by $5 \times 5cm$ specimen	Covering efficiency
plywood					(,,,,	of 30 <i>cm</i>)		for 48 hours (g)	
	0	glossy	18.5	587.5	51.5	0	_	0.23	89.5
A	1	little	12.8	591	42	0	very slight	0.25	88.6
	2	none	10,8	591.5	33	5 ~ 7	slight	0.51	76.4
	0	glossy	16.1	588.8	45.5	0	_	0.08	96.5
В	1	little	12.5	593	44.5	0	very slight	0.13	94.3
	2	none	10.8	589.4	36.5	0	slight	0.24	88.7
	0	glossy	13.4	588.7	39.5	0	_	0.07	96.8
F	1	none	10.4	589.8	30	0	none	0.10	96.0
	2	none	8.9	586	22	0	none	0.25	88.1
	0	glossy	12.5	586.8	37	0		0.14	93.6
J	1	none	10.7	590.5	32	0	none	0.16	92.7
	2	none	10.1	585.5	22	0	none	0.17	92 . 3
	0	glossy	11.3	600	37.5	0	_	0.18	92.3
L	1	none	10.0	594.8	27	0	none	0.16	93.5
	2	none	9.5	588. 4	23	О	none	0.19	91.1
	0	glossy	24.5	588. 5	62	0	_	0.03	98.6
R	1	little	11.4	595.5	37	0	very slight	0.12	94.4
	2	none	10.5	593.6	28	0~2	slight	0.24	89. 2

·						
合板の種類 Kind of plywood	くりかえし経過中の重量変化 Weight change at cycle process (Air dry weight:)		くりかえし回数 Number of cycle	表面 割れ Surface crack	台板目やせ Raised grain of base plywood	
	Boil 4 hrs	20 hrs				
A	122	93	3 5	*a few on one side many on both sides		
В	127 94		3 5	none none	observed "	
F	131	94	3 5	none none	none slightly observed	
J	119	95	3 5	none none	slightly observed	
L	124 . 96		3 5	none none	observed "	
R	127	94	3 5	a few on one side a few on one side		

Table 11. 煮沸一乾燥くりかえし試験片の観察結果 Observation results of boil and dry cycle test specimen.

Size of specimen: 15×15cm.

る。

ii)表面割れ ウェザーメーター試験の場合にはA,J,R合板に,屋外ばくろ試験と煮沸一乾燥くりかえし試験ではA,R合板に表面割れが発生した。ウェザーメーターによるJ合板の表面割れは2本とも原紙中に夾雑物として含まれていた黒色の無機物を基点として発生しており,部分的な温度上昇に起因すると思われる。

さて、レジンシートを加熱硬化せしめ、20° C、関係湿度(R. H.)65%で調湿したものを24時間25° C の水に浸漬した時の幅方向の伸びは Table 12 のごとく $0.26\sim0.69\%$ であり、さらに伸びが最小のレジンシートである F-50について、R. H. 32、65、95%(いずれも 20° C)、水浸漬(25° C)の状態に順次おいた時の寸法変化を測定すると Fig. 6 のごとくなる。ところで、 20° C において R. H. が $65\rightarrow95\%$ 、 $65\rightarrow32\%$ と変化した場合、すなわち木材の 平衡含水率が $12\rightarrow24\%$ 、 $12\rightarrow6.5\%$ と変化した 場合における 1-2-1mm 構成のタンギール合板(本試験の台板合板とほぼ同じ構成である) の表板繊維に直角方向の膨張、収縮率はそれぞれ 0.17%(文献 5)には含水率 $0\sim20\%$ の記載があるが、24%まで直線で外挿した値)および 0.05%である 5 。これを上記レジンシート F-50の同条件下での膨張、収縮率それぞれ 0.14%、0.12% (Fig. 6) に比較すると、 $R. H. 65\rightarrow32\%$ すなわち一般的な気乾状態よりさらに乾燥する場合には合板の収縮率よりレジンシートの収縮率の方が大であつて(吸湿の場合にはこの逆)、この傾向は水浸漬時の伸びが F-50 より大きい(したがつて乾燥時の収縮も大きい)他のレジンシートの場合にはさらに著しい。しかもオーバーレイ処理によつて合板表面からの吸水量は実際にはきわめて少なくなり (Fig. 7)、台板合板の含水率が外界条件と平衡に達するのは時間的にみてレジンシートのそれよりはるかにおくれる

^{*} All cracks occurred at drying process

 Table 12.
 加熱硬化せしめたレジンシートの

 吸水時の伸び

Expansion of cured resin sheet (conditioned at 20°C and R.H.65%) in water.

Direction Resin sheet	抄 紙 方 向 Machine direction	幅 方 向 Cross direction
A -53	0.07%	0.42%
B-52	0.08	0.37
F-50	0.07	0. 26
J -50	0.37	0.68
L-45	0.15	0.47
R-65	0.39	0.69

Size of specimen:

20cm(tested direction) × 3cm.

から、レジンシートの膨張・収縮は台板合板のそれより はるかに大きくかつ頻繁に行なわれる。したがつて乾燥 過程でレジンシートがその収縮のために合板からうける 相対的な張力も一層大であり、このような膨張・収縮が

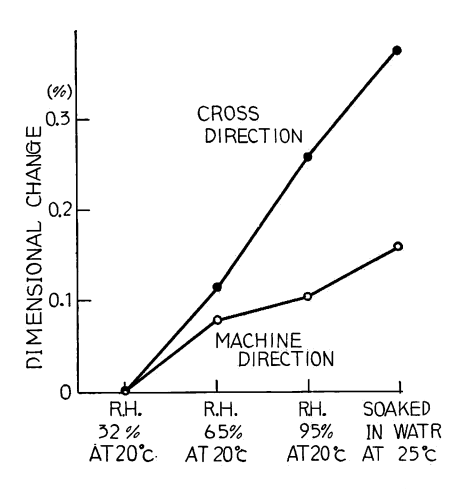


Fig. 6 レジンシート F-50 を加熱 硬化せしめたものの吸湿, 吸水時の寸法変化 Dimensional change of cured resin

sheet F-50 at changing relative humidity and in water.

頻繁にくりかえされると、そのレジンシートの強度が小さい場合には表面割れを生ずる結果となる。ばくろ試験、ウェザーメーター試験で表面割れを生じたA合板、R合板のレジンシートは他に比して引張り強さは小であり、上記のことを裏づけている。

iii)吸水量 試験結果を Fig. 7, Table 9, 10 に示した。前述のごとく表面割れが発生すると,それに伴つて表面からの吸水量も増加するが,表面割れにかかわらず吸水量はウェザーメーター試験時間,またはばくろ時間の増加とともに増す傾向がみられる。これらはレジンシート層の老化現象によつてレジンシート層に顕微鏡的な凹凸ができたり,porous になるためと考えられる。 F 合板と,それを屋外に 8 カ月間(4月~12月)ばくろしたものについて, J I S K 6707 6)の表面固有抵抗試験法にしたがつてレジンシート面の乾燥状態(D:シリカゲルデシケーター中に4時間放置)と吸湿状態(W:第一燐酸アンモニウム飽和水溶液デシケーター中に18時間放置後)での表面固有抵抗を測定したところ(測定電圧: 100 $^{\circ}$ D.

- C.) Table 13 のとおりであつた。W/D をみるとばくろした試料の方が小であつて,乾燥時に比し湿潤状態で表面の電気抵抗が低下する度合が大である。これは表面に顕微鏡的な凹凸または孔が生じ,そこに保有される水分によつて表面抵抗が低下するものと考えられる。A合板の場合ばくろ前,屋外ばくろ1年および 1.5年後の W/D はそれぞれ 0.842, 0.650 および 0.476となり,F合板と同じ傾向がみられた。
- iv) 接着力 Table 14 のごとく、今回の試験においてもレジンシートオーバーレイ合板は無処理合板 より合板接着力をよく保持している。無処理合板の場合にはウェザーメーター試験 216×5 時間のものは 材の風化によつて大部分の試験片がいわゆる目切れを起こした。
- v) 機械的性質 屋外ばくろ試験1または2年後の曲げヤング係数 (E_B) および引張り強さ $(\sigma \tau)$ を、 Table 15、16に示した。また、ばくろ前の強度を1.0とした場合のばくろ試験片の比較値を、Table 17に示した。この表によつてレジンシートオーバーレイのウェザーリングに対する効果が一層明確になる。 すなわち、無処理の場合には表単板は著しい風化を受け、0°方向では1年後に E_B は元の66%、 $\sigma \tau$ は

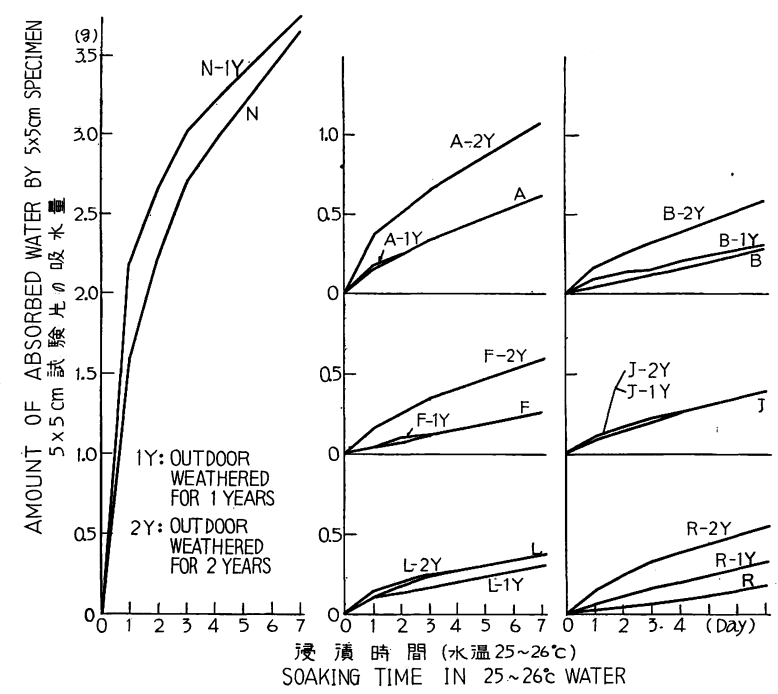


Fig. 7 レジンシートオーバーレイ合板およびそれを屋外ばくろ(1または2年)したものの吸水試験結果
Results of water absorption test of overlaid plywoods
and outdoor weathered (for 1 or 2 years) ones.

Table 13. F合板の表面固有抵抗測定結果 Surface resistivity of F-plywood at dry and wet condition.

条件 Condition		ば く ろ 前 Before weathering	屋外ばくろ8ヵ月後 (4~12月) Outdoor weathered for 8 months(April~Dec.)		
乾 燥 Dry	時 (D)	3.83×10 ¹⁰ (Ω)	3.67×10 ¹⁰ (Ω)		
吸 Wet	時 (W)	2.98×10 ¹⁰	1.19×10 ¹⁰		
W/D		0.778	0.324		

42%に低下し、それに伴つて 45° 方向も小さくなる。心板の風化は表板よりおくれるため、90° 方向での低下は 0°、45° 方向ほど大きくはないが、1年後に E_B は元の 75%、 σ_T は 85%になる。屋外ばくろ2年後には 0°、45° 方向では最初の1年ほど著しい低下はみられないが、90° 方向の σ_T は元の 68%にまで低下し、心板の風化も進行していることがわかる。これらの結果に比してオーバーレイ合板の場合には全種類の平均でばくろ試験2年後でも E_B は元の 81~85%を示し、 σ_T はほとんど元の値を保持しており、この種のレジンシートオーバーレイが合板の耐候性を向上させるために好結果をもたらすことを示している。前報1)で述べたごとく、ここで採用したばくろ試験法(南面 45° 傾斜で、コンクリート上 0.3

Table 14. 屋外ばくろ試験、ウェザーメーター試験および煮沸一乾燥くりかえし試験による レジンシートオーバーレイ合板の接着力変化 Durability of adhesion strength of resin sheet overlaid plywoods.

4 hrs boiling, 20 hrs Adhesion Type of Before Outdoor weathering Weather meter drying at 63°C Kind strength weather (size: 30×30 cm) (size: $7 \times 14cm$) (size: $15 \times 15cm$) $(kg cm^2)$ ing weathering of plywood (216×3.5) (216×5) 1 vear 2 vears 3 cycles 5 cycles hrs hrs $12.6 (5)^*$ N Min. 13.3 (20) 10.0 (0) 13.6 (50) 14.3 (100) 16.6 (50) 14.6 (100) 18.6 (85) 15.2 (35) /No resin sheet\ Max. 17 9 (65) 15.0 (100) 19.9 (100) 17.3 (100) 22.9 (100) 19.9 (100) overlaid 15.9 (37) Mean 11.5 (34) 16.5 (84) 15.5 (100) 20.0 (89) 17.2 (100) Min. 17.9 (100) 16.3 (70) 18.9 (90) 18.9 (90) 17.6 (100) 16.6 (55) Α Max. 24.2 (100) 23.6 (100) 20.6 (100) 25.3 (100) 24.6 (100) 20.6 (100) Mean 21.0 (100) 18.3 (94) 20.6 (96) 19.9 (96) 20.3 (100) 19.4 (90) overlaid) 17.3 (80) 23.9 (100) Min. 15.6 (80) 17.3 (80) 17.6 (90) 16.6 (100) 14.6 (100) В 19.3 (100) 22.2 (100) 22.6 (100) 24.3 (100) 23.6 (100) Max. Mean 21.0 (96) 19.8 (95) 20.2 (96) 21.3 (100) 20.6 (100) 17.5 (93) sheet 14.0 (80) 18.9 (95) 16.6 (100) 15.6 (80) 16.3 (50) Min. 14.0 (70) 16.9 (50) F 21.6 (100) 21.6 (100) 17.9 (100) 26.6 (100) 21.6 (100) 23.6 (100) Max. 23.9 (100) 19.7 (87) Mean 17.3 (96) 17.9 (89) 19.8 (99) 17.1 (100) 19.7 (98) 19.5 (90) Resin Min. 15.3 (80) 12.6 (60) 16.3 (100) 13.6 (80) 14.0 (60) 14.3 (90) J 21.9 (100) 17.3 (100) 22.6 (100) 20.6 (100) 21.6 (100) 23.6 (100) Max. 19.4 (92) 19.0 (100) 15.8 (95) 18.3 (99) 15.6 (80) 17.0 (95) Mean 18.3 (70) 14.9 (100) 15.0 (100) Min. 16.6 (80) 14.3 (40) 15.0 (95) 19.9 (100) 21.9 (100) 24.3 (100) 19.9 (100) L Max. 21.3 (100) 25.2 (100) 19.6 (84) 20.2 (94) 17.2 (88) 19.3 (100) 18.8 (99) 17.1 (100) Mean Min. 14.0 (80) 13.3 (50) 16.3 (100) 13.6 (100) 14.0 (40) 14.0 (20) R 20.6 (100) 18.6 (100) 21.9 (100) 19.3 (100) 20.6 (90) 18.9 (100) Max. 16.6 (98) Mean 16.3 (77) 18.5 (100) 16.7 (100) 17.7 (75) 16.3 (65) Number of specimen 20 8 8 4 4 10 10

^{*} Wood failure (%)
Adhesion strength test pieces are prepared after weathering test.

~1.2m に設置)はレジンシート面の 耐候性に関しては羽目板として南面に使用した場合のほぼ 3 倍のウェザーリングを示すので、これらを考えあわせると表面割れの生じなかつた B、 F 、 L 合板などは屋外での実用に十分耐えうるものと考える。

なお, ばくろ試験後に強度比が 1.0以上になつたものが見られるが, 試験片数が少ないので, 元の試料のバラッキのためであろう。

vi) 台板目やせ 屋外ばくろ試験、煮沸一乾燥くりかえし試験を通じてF合板が最も平滑さを保持しており、レジンシート層がこれより厚いJ,L合板よりもよい結果を示した。F原紙は試験した中で密度の最も高いものであり、レジンシートの乾燥・吸湿による伸縮も他のものより小であつた。この種のオーバーレイ用原紙としては、ある限度内(他の諸性質と関連する)で密度の高いものが製品の平滑度および使

Table 15. 屋外ばくろ試験によるレジンシートオーバーレイ合板の曲げヤング係数の変化 Bending Young's modulus of outdoor weathered resin sheet overlaid plywood.

	Direction of test	Angle of grain direction of face veneer θ (°)				
Kind Bending Young's		0	45	90		
of ply- wood	Weather- ing time	10 ³ kg/cm ² Mean(Min.~Max.)	10 ³ kg/cm ² Mean(Min.~Max.)	10 ³ kg/cm ² Mean(Min.~Max.)		
	0(year)	126.5 (117.5~137.3)	17.2 (16.1~18.6)	14.9 (13.7~16.1)		
N	1	83.7 (80.5~ 85.7)	6.5 (6.4~ 6.6)	11.2 (10.9~11.4)		
	2	85.3 (82.4~87.8)	7.6 (7.2~ 8.1)	11.6 (10.3~12.4)		
	0	159.3 (147.8~178.6)	39.5 (38.3~41.0)	38.9 (36.5~40.1)		
Α	1	143.9 (143.0~144.8)	34.0 (33.7~34.6)	34.6 — —		
	2	124.1 (123.2~124.6).	31.5 (29.9~33.6)	30.2 (29.8~30.9)		
	0	135.0 (129.4~142.2)	45.3 (44.2~45.8)	43.4 (42.6~44.2)		
В	1	121.4 (116.4~130.6)	42.9 (41.7~43.5)	34.3 (32.0~37.3)		
	2 :	122.9 (121.0~125.8)	39.5 (39.2~40.1)	39.6 (39.0~40.0)		
	0	129.5 (125.2~132.8)	54.0 (54.0~54.0)	50.5 (49.5~51.8)		
F	1	114.4 (110.6~119.1)	49.4 (47.8~50.6)	36.6 (34.7~37.5)		
	2	110.4 (107.7~112.7)	39.1 (38.7~39.6)	40.8 (39.7~42.0)		
	0	118.6 (118.1~118.9)	53.4 (52.8~53.6)	51.4 (50.6~52.8)		
J	1	113.8 (107.0~119.7)	46.1 (45.2~46.5)	51.2 (50.3~52.3)		
	2	100.0 (96.7~101.8)	39.4 (38.6~39.8)	43.7 (42.9~44.5)		
	0	108.7 (106.3~112.3)	42.6 (41.2~43.6)	39.6 (39.4~40.0)		
L	1 .	123.7 (123.6~123.8)	49.0 (48.2~49.8)	39.4 (38.6~40.1)		
İ	2	112.9 (108.8~118.6)	40.5 (39.5~41.5)	39.1 (38.3~39.8)		
R	0	124.6 (123.8~125.4)	36.4 (34.6~37.8)	35.9 (35.4~36.1)		
	1	105.1 (103.0~108.4)	29.9 (29.3~30.2)	37.3 (35.5~39.1)		
	2	109.8 (105.9~112.9)	27.5 (27.2~27.7)	29.6 (29.0~29.9)		

Number of specimen: 3 pieces in each direction

Size of specimen: 2×20 cm.

Span length: 15cm.

用中の台板目やせの点でよい結果を示すように思われる。

IV 摘 要

合板に高度の耐水性、耐候性を付与することを目的とした一連の石炭酸樹脂レジンシートオーバーレイ 試験において、前報 11 に示したごとく比較的薄いレジンシート (原紙の厚さ 0.05 または 0.12mm)をオーバーレイした合板は、屋外ばくろ1年後には少数ながら表面割れを生じ始めた。これは薄いレジンシートでは水に対する被覆能が十分でなく、このため吸脱湿による木材の膨張・収縮がかなりあり、この応力に薄いレジンシートの強度では耐えられず、レジンシート層の破断、すなわち表面割れを起こしたものと考察した。そこで前報より厚い $0.12\sim0.38mm$ の 4 種の原紙を用い、含脂率をほぼ 50%に統一した自已接着性のレジンシートを製造し、それを 3.5mm, 3 プライのラワン合板にオーバーレイした。この合板を

Table 16. 屋外ばくろ試験によるレジンシートオーバーレイ合板の引張り強さ変化 Tensile strength of outdoor weathered resin sheet overlaid plywood.

	Direction of test	Angle of grain direction of face veneer θ(°)						
Kind	Wea- Tensile	0 kg/cm² Mean(Min.~Max.)			45		90	
of plywood	thering strength			kg/cm² Mean(Min.∼Max.)		kg/cm² Mean(Min.∼Max.)		
	0(year)	751	(740~770)	151	(129 ~ 198)	621	(505~718)	
N	1	314	(231 ~ 393)	63.7	7 (60.5~69.5)	528	(517 ~ 541)	
	2	292	(276 ~ 323)	57.2	2 (54.2~61.0)	422	(388~465)	
	0	810	(770~882)	186	(183 ~ 189)	719	(604~865)	
A	1	780	(755 ~ 797)	196	(193 ~ 200)	566	(458 ~ 625)	
	2	803	(667 ~ 909)	190	(193 ~ 185)	786	(731 ~ 832)	
	0	787	(724~868)	223	(213 ~ 239)	673	(613~732)	
В	1	704	(677 ~ 729)	207	(202 ~ 212)	724	(616 ~ 799)	
	2	719	(656 ~ 770)	245	(234 ~ 252)	768	(710 ~ 841)	
	0	627	(574~658)	182	(128 ~ 224)	522	(417~619)	
F	1	711	(706 ~ 716)	228	(218 ~ 238)	364	(306~458)	
	2	659	(649~669)	174	(166 ~ 179)	650	(620 ~ 705)	
	0	722	(680~765)	329	(318 ~ 339)	762	(711~825)	
J	1	836	(784 ~ 875)	271	(264 ~ 284)	617	(540 ~ 722)	
	2	718	(701 ~ 746)	276	(265 ~ 290)	743	(676 ~ 781)	
L	0	693	(592~810)	232	(226 ~ 237)	589	(488~653)	
	1	800	(738~835)	222	(214 ~ 238)	591	(560~609)	
	2	824	(768 ~ 902)	234	(231 ~ 237)	692	(611 ~ 741)	
R	0	675	(631~710)	157	(134 ~ 170)	579	(520~611)	
	1	659	(619~695)	192	(181 ~ 211)	678	(743 ~ 785)	
	2	694	(667~710)	165	(159 ~ 169)	674	(593 ~ 717)	

Number of specimen: 3 pieces in each direction.

Shape of specimen: see Fig. 5

Table 17. 屋外ばくろ試験による合板の強度(曲げヤング係数,引張り強さ) 低下におよぼすレジンシートオーバーレイの効果

Effect of resin sheet overlay in bending Young's modulus and tensile strength of outdoor weathered plywoods (Values show ratio of strength between weathered and unweathered plywood).

Outdoor Ratio weather- Direc- ing time tion (Year) of Kind		Ratio of bending Young's modulus \[\frac{E_B \text{(weathered)}}{E_B \text{(unweathered)}} \]			Ratio of tensile strength			
of plywood		test	O°	45°	90°	0°	45°	90°
		0	1.00	1.00	1.00	1.00	1.00	1.00
Non- overlaid	N	1	0.66	0.40	0.75	0.42	0.56	0.85
overiala		2	0.67	0.44	0.78	0.39	0.50	0.68
		0	1.00	1.00	1.00	1.00	1.00	1.00
Overlaid	Α	1	0.91	0.86	0.89	0.96	1.05	0.79
		2	0.78	0.80	0.78	0.99	1.02	1.09
		0	1.00	1.00	1.00	1.00	1.00	1.00
	В	1	0.90	0.95	0.79	0.90	0.93	1.08
		0	0.91	0.87	0.91	0, 91	1.10	1.14
		0	1.00	1.00	1.00	1.00	1.00	1.00
	F	.1	0.88	0.92	0.73	1.13	1.25	0.70
		2	0.85	0.72	0.82	1.04	0.96	1.25
		0	1.00	1.00	1.00	1.00	1.00	1.00
	J	Í	0.96	0.86	1.00	1.16	0.83	0.81
		2	0.84	0.74	0.85	1.00	0.84	0.98
		0	1.00	1.00	1.00	1.00	1.00	1.00
	L	1	1.14	1.15	1.00	1.16	0.96	1.00
		2	1.04	0.95	0.99	1.19	1.01	1.17
		0	1.00	1.00	1.00	1.00	1.00	1.00
	R	1	0.84	0.82	1.04	0.98	1.22	1.17
		2	0.88	0.76	0.83	1.03	1.05	1.17
		0	1.00	1.00	1.00	1.00	1.00	1.00
	Mean	1	0.94	0.93	0.91	1.05	1.04	0.92
		2	0.88	0.81	0.86	1.03	1.00	1.13

用いて、オーバーレイによつて合板の強度やその他の性質がどのように変わるか、耐候性がどの程度向上するか、さらにこの種の目的のためのオーバーレイはいかにあるべきかについて検討を加えた。 その結果、次のことが判明した。

^{1.} レジンシートオーバーレイによつて、合板の強度は増加する。特に 45°方向において著しく、異方性が少なくなる。

^{2.} オーバーレイ処理によつて合板の耐候性は著しく改善され、接着力もよく保持される。

3. 屋外で使用する場合には乾燥、湿潤のくりかえしがはげしいので、レジンシートの強度が十分でないと使用中、乾燥する過程でレジンシート層の破断、すなわち表面割れを生じ、耐候性低下の直接的原因となる。したがつて外装用レジンシートの原紙としては強度がある程度大きい紙を用いるべきである。 A 合板、R合板(Table 8 参照)は屋外ばくろ 2 年後に表面割れがみられたので、この報告のB原紙以上の強度、具体的には幅方向の引張り強さ 5kg/15mm以上を必要とする。合板表板の繊維方向と原紙の抄紙方向を直交させることは、この点で効果的であろう。原紙中の夾雑物は表面割れの原因となりやすい。

ここで採用した屋外ばくろ法は羽目板として南面に使用する場合に比してレジンシート層には約3倍のウェザーリングを示す(第3報¹⁾ 参照)ので,以上の試験結果を総合判断して,A,R以外の合板は十分実用に耐えうる耐候性を有するものと考える。

4. 密度が小さい原紙を使用したレジンシートは乾燥・吸水による伸縮が大で、それをオーバーレイした合板は使用中に目やせを生ずる。また、密度の高い(0.7以上)紙は樹脂の吸収性などの点で難がある。これらを総合判断して、外装用高密度レジンシート用の原紙としては、本報のF原紙あるいは厚さ0.25mm程度のものが適当であり、かつそれで十分耐候性付与の目的を達することができる。

文 献

- 1) 松本庸夫: レジンシートによるオーバーレイに関する研究,第3報,石炭酸樹脂によるレジンシートの製造とオーバーレイ処理およびオーバーレイ合板の耐候性試験,林試研報,143,(1962) p. 137~155.
- 2) 堀岡邦典・中村 章・松本庸夫:同上, 第2報, レジンシート製造装置について, 林試研報, 130, (1961) p. 149~158.
- 3) 松本庸夫:未発表
- 4) 柳下 正: レジンシートによるオーバーレイに関する研究, 第1報, 異なる含脂率の石炭酸樹脂レジンシートによる特性, 林試研報, 130, (1961) p. 133~148.
- 5) 平井信二·堀岡邦典監修:合板, 槇書店, (昭35, 1960) p. 163.
- 6) 日本工業規格: JIS K6707, フェノール樹脂積層板試験方法
- 7) 宮本保夫・野口重信: 完全耐水性合板用 オーバーレイ・レジンシートに つい て,木材工業,13, (1958) p. 135~139.
- 8) Seidl, P. J.: Paper and Plastic Overlays for Veneer and Plywood, Proceedings of the Forest Products Research Soc., 1, (1947) p. 23~30.
- 9) Housing and Home Finance Agency: Some Properties of Paper-Overlaid Veneer and Plywood, Forest Products Lab., Technical Paper, 9, (1948).
- 10) Ritchie, John D.: Future of Plastic Surfaced Douglas-fir Plywood, Proceedings of the Forest Products Research Soc., 4, (1950) p. 347~351.
- 11) Barton, J. S.: Recent Developments in Masking Overlays, Jour. of the Forest Products Research Soc., 2, 4, (1952) p. 52~53.
- 12) Macdonald, Kenneth R.: Plastic Overlaid Plywood, Veneer and Plywood, 50, 4, (1956) p. 12~13.
- 13) Works, W. R.: Plastic Overlays for Wood Products, Forest Products Jour., 6, 1, (1956) p. 18A~20A.

Studies on the Resin Sheet Overlay. Report 5.
On the manufacture of phenolic resin sheet overlaid plywoods using base papers with different thickness and on the weathering test of the overlaid plywoods.

Tsuneo Matsumoto (Résumé)

In order to improve the durability of plywood for exterior use, a series of phenolic resin sheet overlay tests have been carried out in our laboratory. In Report 3 of this series, results of weathering test of phenolic resin sheet overlaid plywood, using base papers with thickness of 0.05 and 0.12 mm, were reported. In the same report, insufficient durabilities of the overlaid plywoods caused by less tensile strength of their resin sheet were observed in an outdoor weathering test (many cracks occurred).

In this report, phenolic resin sheets with approximately 50% resin content using 0.12~0.38mm base paper were manufactured and applied on both sides of base plywoods, and the overlaid plywoods were offered to some types of weathering test. Results of the tests are as follows:

- 1. Manufacture of phenolic resin sheet overlaid plywood.
- i) Apparatus manufacturing resin sheet: Floatation system coating machine as in Report 2 of this series.
- ii) Resin: Water soluble and neutral phenolic resin, specially made in our pilot plant. When considered necessary, it was diluted with 50% methanol (Table 2).
 - iii) Base paper: Shown in Table 1.
- iv) Manufacturing condition of resin sheets: Shown in Table 2. In this report, the term "Resin content" bears the following value:

- v) Characteristics of resin sheet: Six types of phenolic resin sheet were used for the overlay tests. Four of them are shown in Table 2 and Table 8 with symbols of A-53, B-52, F-50 and J-50, and the other two are shown in Table 8 with symbols of L-45 and R-65, which are on the market. They possess good self-bonding characteristics as can be seen in Table 5, except L-45 which is used with film glue. Tensile strength and other properties of the resin sheets (cured between hot plates without pressure) are shown in Table 6, Table 12 and Fig. 6.
- vi) Base plywood: 3.4~3.5mm, 3 ply (veneer construction: 0.9-2.0-0.9mm) plywood bonded with phenolic resin adhesives and sanded with # 180 sand paper.
- vii) Overlaying conditions: 125~130° C, 15 minutes (in the case of L-45 and R-65, 20 minutes) and 12 kg/cm² in pressure. Resin sheets were applied on both sides of a base plywood. Polyethylen emulsion was used as a parting agent.
 - viii) Characteristics of overlaid plywood: Shown in Table 7, 9~11, 14~16 and Fig. 7.
 - 2. Weathering test of overlaid plywoods.

In order to investigate the effects of overlay on durability, the resin sheet ovelaid plywoods were applied to some weathering tests.

i) Plywoods tested: Shown in Table 8. Plywood with symbol N is non-overlaid plywood; A, B, F, J, L and R are resin sheet overlaid plywoods.

- ii) Weathering condition: (a) Weather meter (3 minutes spray/120 minutes), (b) Boil and dry cycle test (boiling for 4 hours and 63°C drying for 20 hours, 3 or 5 cycles), (c) Outdoor, 45° inclined to south (Phot. 1 in Report 3).
 - iii) Results of weathering test: Shown in Table 9~11, 14~17 and Fig. 7.

In order to measure the amount of water absorption through the overlaid surface, edge of $5\times5cm$ specimens were coated with paraffin-vaseline (1:1), and then soaked in $25\sim26^{\circ}\text{C}$ water. Increase of weight after 24, 48 and 72 hours was then ascertained by weighting. The term "Covering efficiency" was calculated with the following formula: Covering efficiency= $\left(1-\left(\frac{W_{0\,\text{V}}}{W_{N\,\text{ON}}}\right)_{mean}\right)\times100$

Wov: Amount of absorbed water through the overlaid surface for 24, 48 or 72 hours soaking.

WNON: Amount of absorbed water through the non-overlaid surface for 24, 48 or 72 hours soaking.

$$\left(\frac{W_{o\,v}}{W_{N\,o\,N}}\right)_{mean}$$
 : Mean of three values of $\left(\frac{W_{o\,v}}{W_{N\,o\,N}}\right)$ at 24, 48 and 72 hours soaking.

Sampling of bending and tensile strength test pieces from the outdoor weathered plywood with the size of $30.5 \times 30.5cm$ is shown in Fig. 4 and tensil strength test pieces are shown in Fig. 5. Then bending Young's modulus (E_B) (center loading) and tensile strength (σ_T) in three directions (θ =0°, 45° and 90°) are measured.

3. Discussion.

- i) Bending Young's modulus and tensile strength of resin sheet overlaid plywoods are larger than that of non-overlaid plywood, especially in 45° direction. Therefore resin sheet overlaid plywoods show less anisotropy than non-overlaid plywood (Table 7).
- ii) The durabilities of plywoods are improved very much by resin sheet overlay. Little changes of mechanical properties and adhesion strength of the overlaid plywoods were observed after 2 years of outdoor weathering (Table 17 and 14).
- iii) In the case of A and R plywood, surface cracks occurred after 216×2 hours exposing to weather meter, after 2 years of outdoor weathering and after 3 cycles of boil and dry cycle test (Table 9~11). When the tensile strength of resin sheet in cross direction is smaller than the stress of expansion and shrinkage of base plywood caused by a change of moisture content, surface crack will occur while the plywood is exposed to weather. Therefore a base paper for exterior resin sheet needs more tensile strength of cross direction than that of the base paper of A or R plywood. According to the results obtained in these experiments, base paper F (in Table 1) shows sufficient strength.
- iv) In the expansion and shrinkage of cured resin sheet caused by humidity change, we find a tendency that the resin sheet using a base paper with a higher bulk density shows a smaller expansion and shrinkage. By reason of the the fact mentioned above, when a low bulk density base paper is used, the resin sheet overlaid plywood shows much raised grain in high humidity condition. F plywood shows no raised grain and no surface crack in weathering test. We presume that the base paper F has sufficient strength, a suitable bulk density, and a sufficient resin absoption degree too.